



Estudo de catalisadores de metais não-nobres altamente dispersos na hidrogenação de CO₂

Taline Alves Ribeiro*¹, Maria Isabella Zachi Soares¹ e Luiz Henrique Vieira¹

talinealves@usp.br

¹Instituto de Química de São Carlos, Universidade de São Paulo, São Carlos, SP, Brasil.

RESUMO – A hidrogenação de CO₂ para a produção de CO, um produto de alto interesse comercial, via reação reversa ao deslocamento gás-água (rWGS), ainda é um desafio em temperaturas brandas, devido à competição com a reação de metanação. Neste trabalho, foram realizados estudos de catalisadores de metais não nobres (Ni, Co e Cu) altamente dispersos em CeO₂ aplicados à rWGS. Os catalisadores foram preparados pela técnica de recozimento em duas etapas, de forma a garantir que apenas átomos metálicos isolados, interagindo fortemente com suporte, estivessem presentes na superfície. Os materiais à base de Ni apresentaram melhor dispersão de sítios ativos com a técnica de preparação empregada, o que levou a conversões acima de 40% e seletividades para CO próximas de 100%, evidenciando a alta seletividade de sítios de Ni isolados em CeO₂ durante a hidrogenação do CO₂.

Palavras-chave: catalisadores altamente dispersos, hidrogenação de CO2, rWGS, metais não-nobres.

ABSTRACT - The hydrogenation of CO_2 to produce CO, via the reverse water—gas shift reaction (rWGS), remains challenging at mild temperatures due to competition with the methanation reaction. In this work, catalysts based on highly dispersed non-noble metals (Ni, Co and Cu) supported on CeO_2 were investigated for application in the rWGS reaction. The catalysts were prepared using a two-step annealing method to ensure that only isolated metal atoms, strongly interacting with the support, were present on the surface. Ni-based materials exhibited better dispersion of active sites with the employed preparation technique, resulting in conversions above 40% and CO selectivity close to 100%, highlighting the high selectivity of isolated Ni sites on CeO_2 during CO_2 hydrogenation.

Keywords: highly dispersed catalysts, CO₂ hydrogenation, rWGS, non-noble metals

Introdução

O aumento das emissões de CO2 na atmosfera, impulsionado pela queima de combustíveis fósseis, tem contribuído significativamente para o aquecimento global (1). Nesse contexto, tecnologias de captura e armazenamento/utilização de carbono (CCS e CCU) surgem como alternativas promissoras para mitigar os impactos da alta emissão de carbono (2). Entre estas estratégias, destaca-se a obtenção de produtos de alto valor comercial, como o monóxido de carbono (CO), por meio da reação reversa ao deslocamento gás-água (do inglês reverse water gas-shift - rWGS) (3). No entanto, essa rota apresenta limitações, sobretudo a competição termodinâmica com a metanação em temperaturas mais baixas (4). Uma abordagem promissora para superar esse desafio envolve o uso de catalisadores altamente dispersos, capazes de promover maior seletividade e, assim, favorecer a formação de CO (5). Dessa forma, o presente trabalho tem como objetivo investigar a hidrogenação de CO₂ via rWGS em temperaturas entre 250 °C e 400 °C, empregando catalisadores à base de metais não nobres como Ni, Co e Cu.

Experimental

O suporte de CeO₂ sem morfologia (SM) foi preparado a partir da decomposição de Ce(NO₃)₃.6H₂O a 350° C por 2 horas, seguida de calcinação a 600° C por 5 horas. Já para o suporte de CeO₂ com morfologia cúbica foi realizado a precipitação de

Ce(NO₃)₃.6H₂O com NaOH, seguida de tratamento hidrotérmico a 200 °C por 24 horas. Após a lavagem, o material foi novamente calcinado a 350 °C por 4 horas.

A síntese dos catalisadores foi realizada pelo método de recozimento em duas etapas (6). Inicialmente, foram dispersos aproximadamente 10% (m/m) do metal sobre o suporte CeO₂, por via úmida. Em seguida, os catalisadores secos foram submetidos a um tratamento térmico a 300° C por 5 horas em ar estático. Posteriormente, procedeu-se à lavagem com solução de $\rm H_2O/Et$ ou EtOH para remoção dos metais interagindo fracamente com o suporte. Por fim, os catalisadores foram calcinados a 500 °C por 5 horas sob atmosfera de ar.

As amostras foram caracterizadas pelas técnicas de difratometria de raios X, microscopia eletrônica de varredura e transmissão, fisissorção de N_2 e redução a temperatura programada. Os testes catalíticos foram realizados em reator de leito fixo sob pressão atmosférica nas temperaturas de 250 °C a 400 °C. A análise dos produtos formados foi feita por cromatografia gasosa com detectores TCD.

Resultados e Discussão

Os padrões de DRX apresentaram picos característicos da fase fluorita do CeO₂ (JCPDS n° 34-0394) para todos os catalisadores, não observando picos correspondentes da fase NiO nos catalisadores de Ni, indicando uma alta dispersão sob o suporte. As análises de MEV e MET confirmam a formação de cristais cúbicos expondo o plano (100) com



distância interplanar de 0,27nm que é evidenciado por outros autores para CeO_2 cúbico e cristais amorfos expondo o plano (111) com distância interplanar de 0,32nm. O mapeamento de EDS (fig. 1) das amostras de Ni apresentou uma alta dispersão dos metais sob o suporte de CeO_2 na qual não foi visualizado nanopartículas de tamanho significativo indicando uma síntese efetiva.

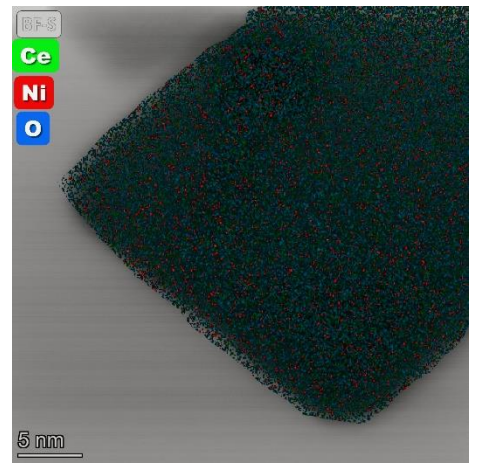


Figura 1. Mapeamento de EDS da amostra de NiCeO₂ Cubo.

Os dados obtidos pelas isotermas de fisissorção de N_2 evidenciam a mesoporosidade das amostras (isotermas do tipo IV). As amostras sem morfologia dos metais apresentaram maior área de superfície por meio do cálculo BET (aproximadamente 74 m²g⁻¹) e as amostras cúbicas com áreas próximas de 31 m²g⁻¹.

Os perfis de redução dos catalisadores foram observados picos estreitos e homogêneos. Para as amostras de NiCeO₂ há ocorrência de dois eventos de redução de espécies de Ni (fig. 2a) em aproximadamente 250 °C – 310 °C para NiCeO₂ Cubo e 285 °C – 345 °C para NiCeO₂ SM podendo indicar que as partículas possuem tamanhos reduzidos devido ao consumo de hidrogênio ocorrer em temperaturas mais baixas. Os picos apresentados após 450 °C são referentes ao suporte por *spillover* de H₂ demonstrando uma forte interação metal-suporte.

Os testes catalíticos mostraram bons resultados de conversão de CO₂ (fig. 2b) para as amostras de NiCeO₂ cubo (50%), com seletividade de 83%, e NiCeO₂SM (45%), com seletividade de 100% para CO. Os catalisadores de Cu e Co apresentaram atividade consideravelmente inferior, mesmo com uma alta seletividade. Isso pode ser explicado pela ineficiência da metodologia aplicada em remover espécies metálicas, interagindo fracamente com o suporte, durante a etapa de lavagem, levando a aglomeração de Cu e Co na forma de nanopartículas durante o tratamento térmico em altas temperaturas. As partículas aglomeradas afetaram consideravelmente a taxa de formação de CO (fig. c) nestes materiais, evidenciando que espécies metálicas altamente



dispersas têm desempenho superior frente a nanopartículas neste processo.

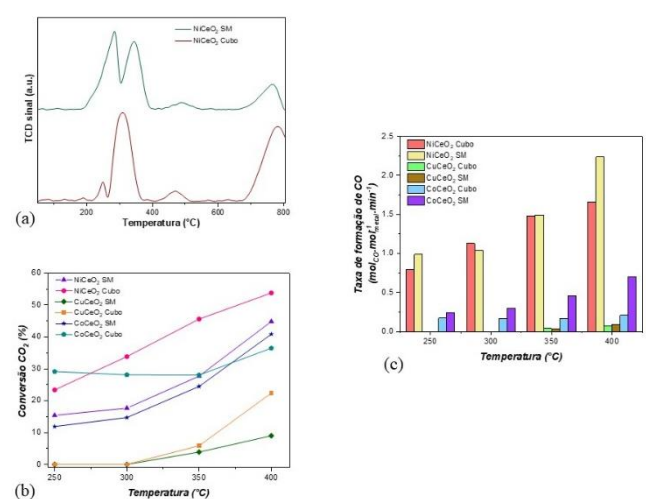


Figura 2. (a) Perfis de TPR das amostras de NiCeO₂; (b) Atividade catalítica de CO₂; (c) Taxa de formação de CO.

Conclusões

De acordo com os resultados, foi possível observar uma melhor atividade catalítica e seletividade nos catalisadores de NiCeO₂ para a conversão de CO₂ em CO. A metodologia de recozimento em duas etapas possibilitou uma alta dispersão, disponibilizando mais sítios ativos para conversão. Adicionalmente, a ausência de partículas metálicas suprimiu hidrogenações excessivas dos intermediários levando a altas seletividades para CO, mesmo em condições reacionais brandas. Por outro lado, a metodologia não se mostrou eficiente na dispersão de Co e Cu, levando a aglomeração em nanopartículas que prejudicaram a atividade catalítica.

Agradecimentos

Os autores agradecem a Fundação de Amparo à Pesquisa do Estado de São Paulo (FAPESP, Processos 2022/06419-2 e 2024/09007-2) pelo suporte financeiro.

Referências

- 1. P. S. Ceretta; J. F. Sari; F. C. Da C. Ceretta, Desenvolvimento em Questão, 2020, 18, 268–286.
- 2. J. Ma; et al., Engineering Elsevier Ltd, 2022.
- 3. T. S. Galhardo; et al., *Journal of the American Chemical Society*, **2021**, 143, 4280.
- 4. H. X. Liu; et al., *Nature Communications*, **2022**,13, n. 1.
- W. Li; et al., Science China Chemistry, 2025, 68, 1159– 1168.
- Hai, X. et al., Nature Nanotechnology, 2022, 17, 174– 181.